

コンクリートばかりのせん断破壊に関する研究

名古屋工業大学 正員 吉田弥智

正員 赤井 登

学生員 ○藤野哲男

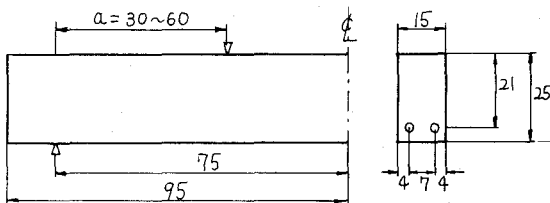
1 まえがき

本研究は、鉄筋コンクリートばかりにおけるせん断破壊の機構を解明するために、載荷重の変化にともなうコンクリート断面のひずみ分布の推移、ひびわれ状況、ひびわれ幅の変化、たわみの変化、主鉄筋のひずみなどの基本的特性を、 $\alpha_L = 1.43, 1.90, 2.38, 2.86$ の単鉄筋ばかり 12 本について実験を行ない調べた。また現在摸索中である終局強度設計のせん断に対する設計式についても検討を行なった。

2 実験方法

供試体寸法、スターラップの寸法は図-1 に示す。供試体は、単鉄筋ばかりのものを 4 本づつ 2 シリーズ、垂直スターラップを配置したものと 4 本の計 12 本作成した。単鉄筋のみのはりについては、4 本を円形断面支承で、他の 4 本を矩形断面支承で載荷した。載荷方法は 2 点載荷で、2 t/m²

図-1 供試体形状及び寸法



スターラップの寸法行ない、そのつど測定を行なった。コンクリートのひずみ測定には、スパン中央部と載荷点下に、70mm のワイヤーストレインゲージを、水平方向に、上部は 3 cm 間隔に、下部は 4 cm 間隔に配置した。主鉄筋のひずみは、せん断スパン中央部の鉄筋の下側に 5mm のストレインゲージを配置し測定した。たわみの測定は、スパン中央部と載荷点下に、ダイヤルゲージを置いて測定を行なった。クラック幅は、支承からスパン中央部までを 6 cm 13 間隔に区ぎり、コンクリート下端から 1.5cm の場所に、コニタクトゲージをはりつけ測定した

3 実験結果と考察

表-1 実験結果

梁番号	α_L	σ_c kg/cm ²	σ_t kg/cm ²	P_i (t)	P_d (t)	P_u (t)	破壊形式	梁番号	α_L	P kg/cm ²	σ_c kg/cm ²	σ_t kg/cm ²	P_i (t)	P_d (t)	P_u (t)	破壊形式	
S-1 ○ 支承	1	1.43	311	31.7	10	14	29.0	S-3 ○ 支承	1	1.43	0.0095	384	33.3	10	18	33.0	腹部 圧壊
	2	1.90	401	31.7	6	10	21.6		2	1.90	0.0095	384	33.3	6	16	23.8	せん断 圧壊
	3	2.38	363	35.8	6	10	25		3	2.38	0.0095	381	32.9	6	12	18.6	せん断 引張
	4	2.86	359	36.0	4	9.5	9.5		4	2.86	0.0095	377	36.0	6	10	15.2	曲げ 破壊
S-2 □ 支承	1	1.43	402	33.4	6	14	34.0		σ_c : コンクリートの圧縮強度 σ_t : コンクリートの引張強度 P_i : 初期曲げひびわれ発生荷重 P_d : 斜ひびわれ発生荷重 P_u : 破壊荷重								$P: \text{腹鉄筋比} (\frac{A_s}{A_c})$
	2	1.90	405	35.7	4	10	23.8									$P: \text{腹鉄筋比} (\frac{A_s}{A_c})$	
	3	2.38	402	33.4	6	10	15.0									$P: \text{腹鉄筋比} (\frac{A_s}{A_c})$	
	4	2.86	429	33.7	4	8	10.2									$P: \text{腹鉄筋比} (\frac{A_s}{A_c})$	

 σ_c : コンクリートの圧縮強度 $P: \text{腹鉄筋比} (\frac{A_s}{A_c})$ σ_t : コンクリートの引張強度 P_i : 初期曲げひびわれ発生荷重 P_d : 斜ひびわれ発生荷重 P_u : 破壊荷重

コンクリートの破壊寸前の中立軸の位置を図-2、図-3に示す。この図から、スターラップを配置していないばかりの場合は、破壊寸前のスパン中央部における中立軸の位置は、%が大なるにしたがって漸次下がっている。それにくらべ、載荷点下の中立軸の位置は、S-1ではスパン中央部のものと並行して下がつて来ているが、S-2では、S-1にくらべると %が1.90と2.38の場合に、中立軸の位置の差が大きくなっている。これは、破壊形式と関連があるのではないかと思われる。%が1.90と2.38の場合 S-1では斜引張破壊、S-2ではせん断圧壊を起こしている。すなわちせん断圧壊の場合、曲げひびわれから、斜ひびわれへあまり進展せず、応力の再分配後、斜ひびわれが大きくなり、斜ひびわれ位置の鉄筋に、局部的な応力集中を起こさせるため、スパン中央部は安定するためと思われる。逆に斜引張の場合、曲げひびわれから斜ひびわれの連結がよく、曲げの延長として比較的多くの斜ひびわれが発達するため、曲げひびわれとせん断ひびわれが並行して大きくなり鉄筋に応力集中が起こらずに破壊するため、スパン中央部と載荷点下の中立軸の位置の差が少なくなるものと思われる。なお% = 2.86の場合 斜ひびわれはほとんど発達せず、破壊時に急激に斜ひびわれが発達して破壊したために、破壊寸前ににおいて中立軸の位置はかなり低くていた。またS-1とS-2では、支承部が異なるが、この場合コンクリート強度差にもよるが 支承が矩形であるほうが、支承部を結ぶ線上のせい的な破壊がさまたげられるために、圧縮部が安定し、せん断圧壊を起こしやすいのではないかと考えられる。図-4は破壊断面における鉄筋の荷重-ひずみ曲線の概略図であるが、せん断圧壊の場合(S-2)の方が斜引張破壊(S-1)より もよく伸びている。鉄筋のyieldが $E = 2000 \times 10^6$ であるので、せん断圧壊の場合、低い荷重で 鉄筋が塑性領域に入っていることがわかる。以上のことは、コンクリートのスパン長 鉄筋比、コンクリートの強度などが変われば一概にはいえないと思うが、一考察として述べておきました。その他のことがらについては、当日発表させていただきます。

参考文献 Report of ACI-ASCE Committee 326 Shear and Diagonal Tension Journal of ACI 1962 1. 2月

鉄筋コンクリートばかりのせん断強さに関する基礎研究 コンクリートジャーナル Vol. 15 No. 10 1967年 舟越總

破壊寸前における中立軸の位置

図-2、スターラップを配置しない場合

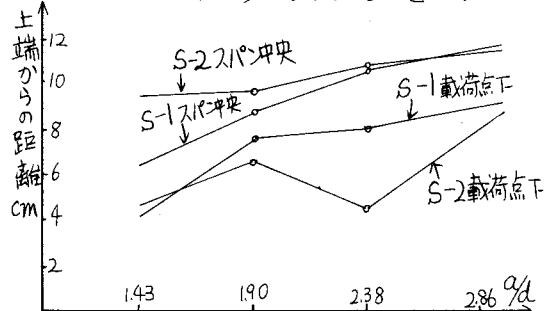


図-3 スターラップを配置した場合

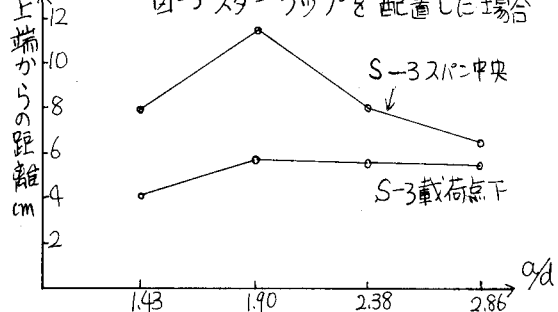


図-4 破壊断面のせん断スパン中央部における鉄筋のひずみの概略図

